

Commande optimale de l'irrigation : Double modélisation mathématique et agronomique vers une application au modèle Optirrig

Ruben Chenevat

Soutenance de thèse présentée publiquement le Vendredi 10 Octobre 2025

Devant le Jury composé de :

Emmanuel Trélat, Sorbonne Université

Hasnaa Zidani, INSA Rouen

Jean-Baptiste Caillau, U. Côte d'Azur

Nathalie Khalil, FEUP Porto

Hind Oubanas, INRAE Montpellier

Alain Rapaport, INRAE Montpellier

Bruno Chevron, INRAE Montpellier

Sébastien Roux, INRAE Montpellier

Rapporteur

Rapportrice

Examinateur

Examinateuse

Examinateuse

Directeur

Co-Directeur

Co-Encadrant



Introduction

I - Contexte

II - Présentation d'un modèle de contrôle (CCI)

III - Formulation des problèmes d'optimisation

Productions

I - Contributions théoriques en commande optimale

II - Analyse d'un cadre formel : cultures sous serre

III - Cadre opérationnel : Optirrig, cultures au champ

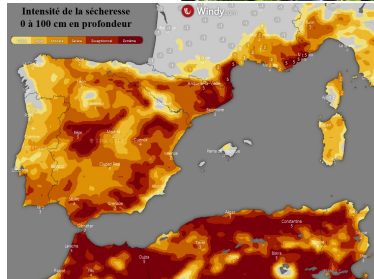
Conclusions

Introduction

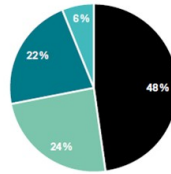
I - Contexte

- II - Présentation d'un modèle de contrôle (CCI)
- III - Formulation des problèmes d'optimisation

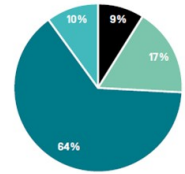
I - Contexte



Consommation



Prélèvements



Problématique et outils

Objectif : Stratégies d'irrigation performantes, horizon tactique

$$\max_u \text{ Biomasse}, \quad \min_u \text{ Eau utilisée}, \quad \max_u \text{ Revenus}$$

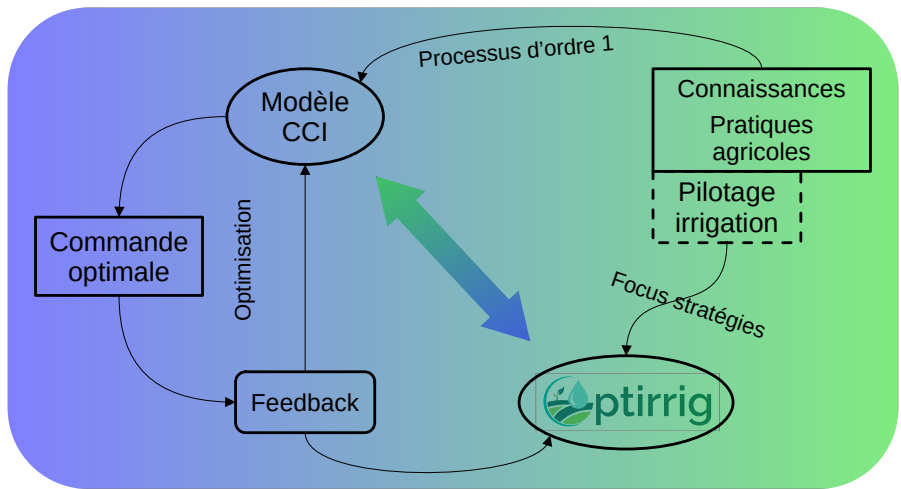


⇒ Leviers d'action : agronomique, technique, **pilotage**

⇒ Pilotage : utilisation de la commande optimale

grâce à la théorie et pour la pratique

Double modélisation CCI-Optirrig



Hypothèses générales

Échelle spatiale :

- Une parcelle
- Grandeur homogènes

Échelle temporelle :

- Saison culturelle
- Une récolte finale

Type de culture :

- Annuelle

Entrée-sortie :

- Variables accessibles
- Système localement contrôlable

Contrainte :

- Irrigation déficitaire

Introduction

I - Contexte

II - Présentation d'un modèle de contrôle (CCI)

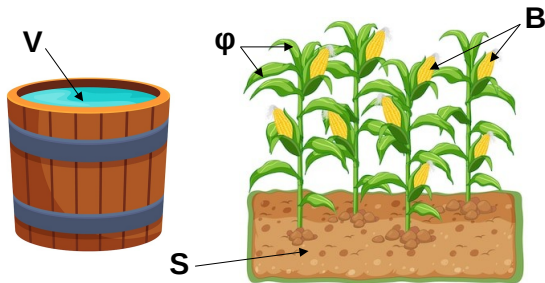
III - Formulation des problèmes d'optimisation

II - Présentation du modèle Controlled Crop Irrigation

Modèle inspiré de : Pelak et al (2017), Bertrand et al (2018), Kalboussi et al (2019) & Boumaza et al (2021).

Variables d'intérêt :

- Humidité du sol (S)
- Biomasse produite (B)
- Eau d'irrigation disponible (V)
- Recouvrement végétal (φ)



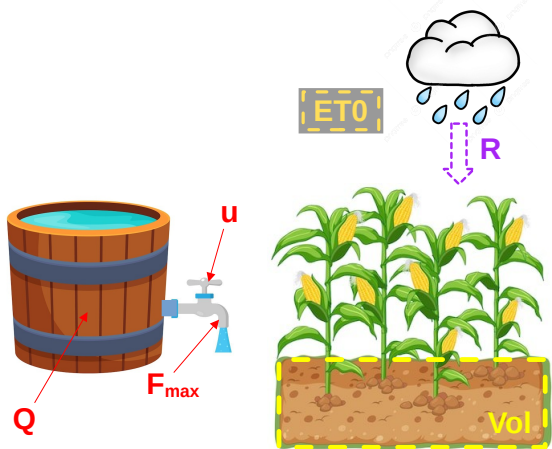
- Une saison correspond à la **phase de croissance** végétale
- Les nutriments sont considérés comme une ressource **non limitante**

Éléments environnement :

- Demande climatique (**ET0**)
- Réservoir du sol accessible (**Vol**)
- Pluies (**R**)

Éléments opératoires :

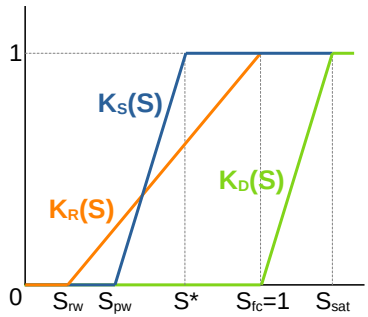
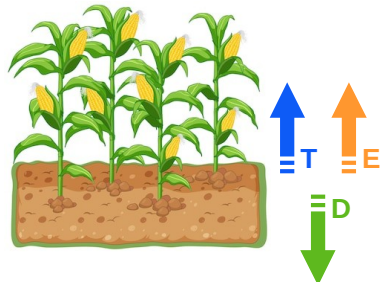
- Quota d'irrigation (**Q**)
- Débit maximal (**F_{max}**)
- Pilotage/contrôle (**u**)



→ On considère que la capacité matérielle (F_{max}) est **plus grande** que le forçage climatique ($ET0$)

Transferts d'eau :

- Pertes dues à la transpiration $(-\varphi(t)K_S(S) \cdot ET0)$
 - Pertes dues à l'évaporation $(-(1 - \varphi(t))K_R(S) \cdot ET0)$
 - Pertes dues au drainage $(-k_{sat}K_D(S))$
 - Apports via irrigation $(+F_{max}u)$
 - Contribution des pluies $(+\alpha R(t))$



Dynamique du modèle CCI

→ Saison culturelle pour $t \in [0, T]$, contrôle $u \in [0, 1]$:

Humidité du sol :

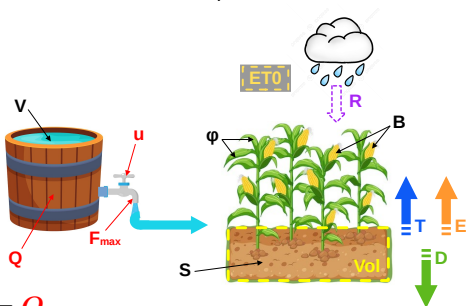
$$\dot{S}(t) = \frac{ET0}{Vol} \left(-\varphi(t)K_S(S(t)) - (1 - \varphi(t))K_R(S(t)) - \frac{k_{sat}}{ET0}K_D(S(t)) + \frac{F_{max}}{ET0}u(t) + \frac{\alpha}{ET0}R(t) \right)$$

Production de biomasse :

$$\dot{B}(t) = k_3 \varphi(t)K_S(S(t))$$

Eau d'irrigation disponible :

$$\dot{V}(t) = -F_{max}u(t)$$



→ Conditions initiales :

$$S(0) = S_0 \in (S^*, 1], B(0) = 0, V(0) = Q$$

Introduction

I - Contexte

II - Présentation d'un modèle de contrôle (CCI)

III - Formulation des problèmes d'optimisation

III - Formulation des problèmes d'optimisation

Problèmes d'intérêt :

1. Sous condition de quota → maximiser la biomasse produite
2. Avec un cible de biomasse → minimiser l'utilisation d'eau
3. Sans condition terminale → maximiser la balance financière

Formulation dans le cadre CCI (*critère et cible n°1*) :

- a. Contrainte d'état : $\forall t \in [0, T], S_{ope} \leq S(t)$ avec $S_{pw} < S_{ope} < S^*$
- b. Faisabilité et irrigation déficitaire : $Q_{ope} < Q < Q^*$
- c. Condition terminale : $V(T) \geq 0$

Définition

$$(\mathcal{OCP}) : \sup_{u(\cdot)} B(T)$$

Caractéristiques et difficultés

Modèle CCI :

- Processus biophysiques d'**ordre 1**
- Petite dimension

Problème de contrôle optimal :

- Horizon fixé, coût terminal, cible terminale (budget)
- Dynamique non autonome, non linéaire, **non lisse**
- Contient un terme **non déterministe**
- Dynamique affine par rapport au contrôle
- **Contrainte d'état** (inégalité)

Productions

I - Contributions théoriques en commande optimale

- II - Analyse d'un cadre formel : cultures sous serre
- III - Cadre opérationnel : Optirrig, cultures au champ

I - Contributions théoriques en commande optimale

Principe Bang-Bang bien connu pour les systèmes dynamiques linéaires :

$$\begin{cases} \dot{X}(t) = A(t)X(t) + B(t)u(t), & u(t) \in U \text{ convexe compact} \\ X(t_0) = X_0 \end{cases} \quad (1)$$

Théorème (Hermes & La Salle, 1969)

$$\forall t \geq t_0, \mathcal{A}_{BB}(t) = \mathcal{A}(t)$$

Corollaire

Soit un problème de temps minimum à atteindre une cible Γ **compacte** régi par (1). Si X_0 est dans l'ensemble d'atteignabilité de Γ , alors **il existe** un contrôle $u(\cdot)$ qui prend ses valeurs dans $\mathcal{E}(U)$, pour lequel la trajectoire associée atteint Γ en **temps minimal**.

Question : A-t-on de tels résultats de structure pour le modèle CCI ?

I - Extensions des résultats de structure

Système dynamique du modèle CCI :

$$\begin{cases} \dot{X}(t) = \mathbf{F}(t, \mathbf{X}(t)) + B(t)u(t) + \mathbf{c}(t, \omega) \\ (t_0, X_0) \in \Sigma \end{cases}$$

a) Partie affine par morceaux :

Partition de l'espace :

$$\Sigma = \bigcup_{i \in \mathcal{I}} \overline{P_i}$$

Pour $(t, X) \in P_i$, on a $\mathbf{F}(t, X) = \mathbf{a}_i(t) + \mathbf{A}_i(t)X(t)$ et F continue par rapport à X .

b) Partie non déterministe :

Bruit non contrôlé :

$$\mathbf{c}(t, \omega)$$

Étudié : $dX(t) = [a(t) + A(t)X(t) + B(t)u(t)]dt + [\mathbf{c}(t) + \mathbf{C}(t)\mathbf{X}(t)]dW(t)$

Extension au cadre affine par morceaux et continu

$$\begin{cases} \dot{X}(t) = F(t, X(t)) + B(t)u(t), & u(t) \in U \text{ convexe compact} \\ (t_0, X_0) \in \Sigma \end{cases} \quad (2)$$

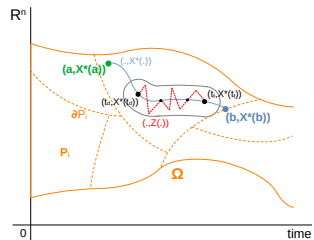
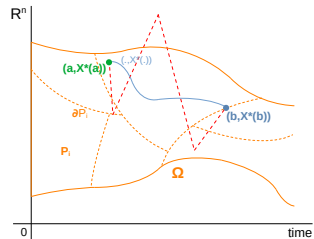
Théorème (Chenevat et al, 2024)

Soit un problème de temps minimum à atteindre une cible Γ compacte régi par (2). Si X_0 est dans l'ensemble d'atteignabilité de Γ , alors il existe un contrôle optimal $u(\cdot)$ composé

- d'une succession d'arcs **bang-bang** quand la trajectoire associée est dans une région \mathring{P}_i
- d'arcs **singuliers** (ou constraints) éventuels le long de frontières ∂P_i .

Remarque

Dans ce cas, les arcs **singuliers** se situent aux endroits où la dynamique est **non différentiable**.



Productions

I - Contributions théoriques en commande optimale

II - Analyse d'un cadre formel : cultures sous serre

III - Cadre opérationnel : Optirrig, cultures au champ

II - Analyse d'un cadre formel : cultures sous serre

Objectif : Établir des résultats “brique de base”

Hypothèses contextuelles :

- Système **totalement contrôlé**
- Conditions climatiques **stables**
- Pas de pluie
- Pas de drainage
- Débit d'irrigation **ajustable**

Dynamique de l'humidité du sol :

$$\dot{S}(t) = \frac{ET0}{Vol} \left(-\varphi(t) K_S(S(t)) - (1 - \varphi(t)) K_R(S(t)) + \frac{F_{max}}{ET0} u(t) \right)$$

Résolution du problème d'optimisation

Propriétés des solutions optimales :

Proposition

Soit $\bar{u}(\cdot)$ une **solution optimale** au problème (\mathcal{OCP}) . On note $(\bar{S}, \bar{B}, \bar{V})$ ses trajectoires associées. Alors :

- $\bar{u}(t) = \mathbf{0}$, p.p. $t \in [0, t^*]$
- $\bar{S}(t) \leq S^*$, pour tout $t \in [t^*, T]$
- $\bar{V}(T) = \mathbf{0}$.

Application du Principe du Maximum de Pontryagin non lisse (Clarke, 2013) :

Proposition

On note $(\lambda_S, \lambda_B, \lambda_V)$ les états adjoints.

- Une solution optimale à (\mathcal{OCP}) n'est **pas anormale**.
- $\forall t \in [0, T], \lambda_S(t) \geq 0 ; \lambda_B \neq 0 ; \lambda_V \neq 0$

Propriété structurelle :

Proposition

*Il existe une solution optimale dont les arcs **singuliers** se situent aux points **non différentiable** de la dynamique, c'est-à-dire en $\tilde{S} = S_{ope}$ ou $\tilde{S} = S^*$.*

Remarque

Le contrôle associé à une humidité constante \tilde{S} est

$$u_{sing}(t, \tilde{S}) = \left(\varphi(t)K_S(\tilde{S}) + (1 - \varphi(t))K_R(\tilde{S}) \right) \frac{ET0}{F_{max}} \in [0, 1]$$

Nombre de commutations :

Proposition

On définit la fonction de commutation par

$$\Psi(t) = \lambda_S(t) \frac{F_{max}}{Vol} - \lambda_V$$

*L'ensemble $\mathcal{C} = \{t \in [0, T], \Psi(t) \geq 0\}$ est **connexe**.*

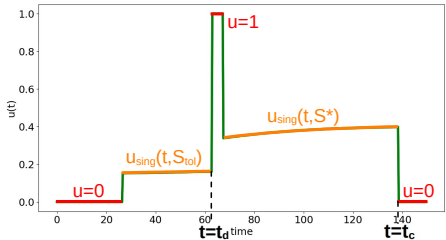
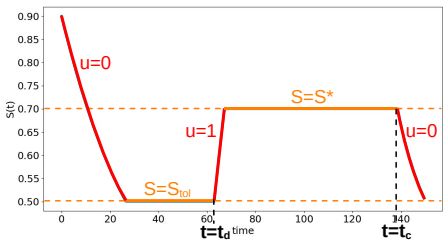
Synthèse des stratégies optimales

Proposition (Chenevat et al, 2025)

Il existe t_d un "temps de décision", t_c un "temps de coupure", tels que le contrôle sous forme de feedback dépendant du temps

$$U_{t_d, t_c}(t, S, V) = \begin{cases} 0, & (S \geq S_{ope} \wedge t \leq t_d) \vee V = 0 \vee t \geq t_c, \\ u_{sing}(t, S_{ope}), & S = S_{ope} \text{ et } t \leq t_d, \\ u_{sing}(t, S^*), & S = S^* \text{ et } (V > 0 \wedge t < t_c), \\ 1, & \text{sinon,} \end{cases}$$

est optimal.

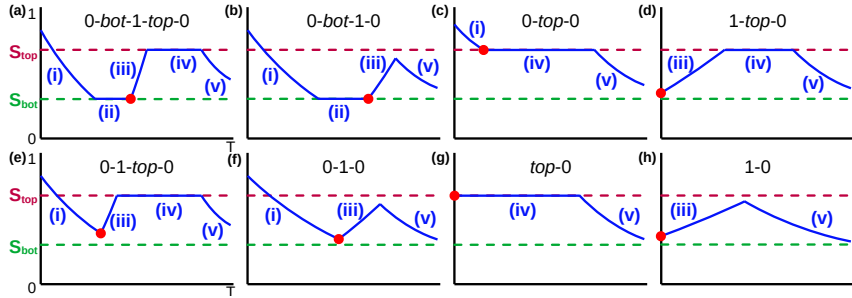


Intérêts et analyse complémentaire

Classe de scénarios d'irrigation :

- Stratégies d'Irrigation Basées sur des Seuils (TBIS)
- Résolution de (\mathcal{OCP}) : optimisation en **petite dimension**

Question : Quelle est la valeur optimale de t_d ? Et comment l'expliquer ?



Exploration numérique et analyse de sensibilité

Plan d'exploration :

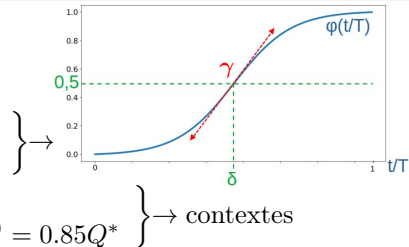
$$k_2 = \frac{F_{max}}{ET_0}$$

δ = temps caractéristique de mi-croissance

γ = pente caractéristique de croissance

$$S_{lope}^{(low)} = 0.37, S_{lope}^{(high)} = 0.45$$

$$Q^{(low)} = 0.55Q^*, Q^{(med)} = 0.70Q^*, Q^{(high)} = 0.85Q^*$$



Notation	Unité	Plage explorée
S_0	mm/mm	[0.88, 1]
ET_0	mm/j	[2, 7]
Vol	mm	[70, 270]
k_2	-	[2, 6]
S^*	mm/mm	[0.58, 0.87]
δ	j/j	[0.2, 0.8]
γ	-	[2, 7]

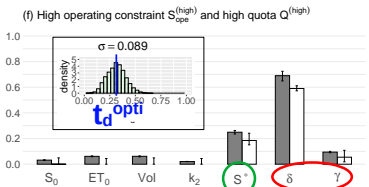
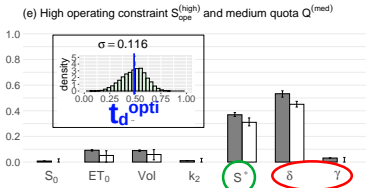
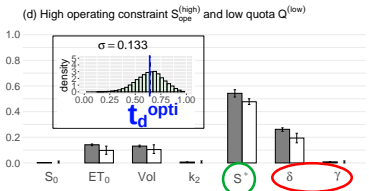
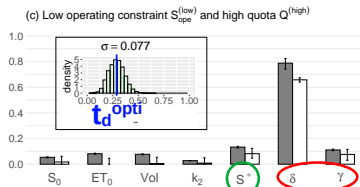
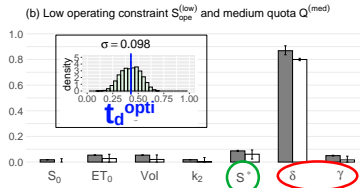
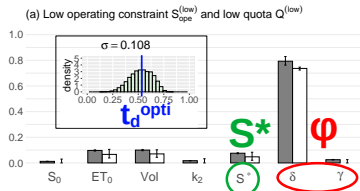
Calcul des indices de Sobol :

$$SI_i = \frac{\text{Var}(\mathbb{E}_{X \sim i}(Y|X_i))}{\text{Var}(Y)}$$

$$TSI_i = \frac{\mathbb{E}(\text{Var}_{X_i}(Y|X_{\sim i}))}{\text{Var}(Y)}$$

(ici, X = paramètres explorés, $Y = t_d^{opti}$)

Résultats de sensibilité



Productions

I - Contributions théoriques en commande optimale

II - Analyse d'un cadre formel : cultures sous serre

III - Cadre opérationnel : Optirrig, cultures au champ

III - Cadre opérationnel : Optirrig, cultures au champ

Objectif : Étendre les résultats “brique de base” à des situations + complexes

Hypothèses contextuelles :

- Présence de **pluies**
- Possibilité de **drainage**
- *(Débit d'irrigation contraint)*

Dynamique de l'humidité du sol :

$$\dot{S}(t) = \frac{ET0}{Vol} \left(-\varphi(t) K_S(S(t)) - (1 - \varphi(t)) K_R(S(t)) + \frac{F_{max}}{ET0} u(t) - \frac{k_{sat}}{ET0} K_D(S(t)) + \frac{\alpha}{ET0} R(t) \right)$$

a) Optirrig - Double modélisation CCI & Optirrig

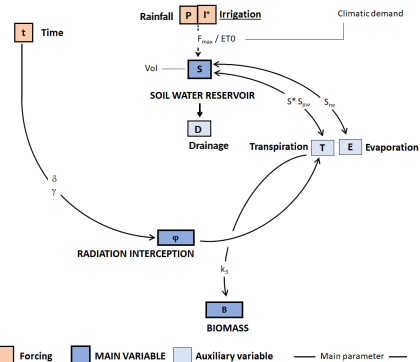


Schéma concept du modèle CCI

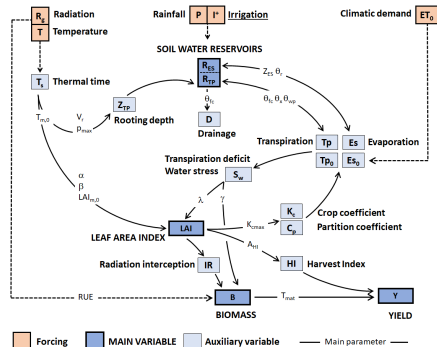


Schéma concept du modèle Optirrig

a) Optirrig - Correspondance CCI & Optirrig

	Terme	Modèle CCI		Modèle Optirrig
<u>Directe</u>	Temps (thermique)	t	\longleftrightarrow	T
	Irrigation	$F_{max}u(t)$	\longleftrightarrow	$I_{max}I_{N,i}$
	Drainage	$k_{sat}K_D$	\longleftrightarrow	$\min(Z_D(\theta - \theta_{fc}), K_D)$
<u>Indirecte</u>	Transpiration	$\varphi \cdot K_S ET0$	\longleftrightarrow	$K_c \cdot C_p \cdot K_{TP} ET0$
	Évaporation	$(1 - \varphi) \cdot K_R ET0$	\longleftrightarrow	$K_c \cdot (1 - C_p) \cdot K_{ES} ET0$
	Prod. de biomasse	$k_3 \cdot \varphi \cdot K_S$	\longleftrightarrow	$PAR \cdot RUE \cdot IR \cdot S_w^\lambda$
<u>Limites</u>	Réservoir accessible	Vol	\longleftrightarrow	R_{ES}, R_{TP}
	Recouvr. végétal	φ	\longleftrightarrow	$LAI + IR + C_p$

a) Optirrig - Correspondance CCI & Optirrig

Objectifs rendus possibles :

- Évaluer les stratégies théoriques dans Optirrig
 - implémenter les **TBIS**, tester dans différents contextes
- Reprendre l'étude analytique avec les enrichissements
 - remplacer Vol par $\rho z(t)$, voir ce qui change
- Calibration, contextualisation, déclinaison de l'exploration numérique
 - sélectionner φ et préciser les sensibilités d'**ordre 2**

b) Pluies - Traiter les incertitudes liées aux pluies

(travaux en cours dans le cadre d'un projet en collaboration avec FEUP Porto)

Objectif : Étendre la méthodologie “brique de base”

→ (R_1, \dots, R_p) p séquences de pluies, (μ_1, \dots, μ_p) leurs probabilités d'occurrence

$$\left\{ \begin{array}{l} \dot{\mathbf{S}}_1(t) = \frac{ET_0}{Vol} \left(-\varphi(t)K_S(\mathbf{S}_1(t)) - (1 - \varphi(t))K_R(\mathbf{S}_1(t)) - \frac{k_{sat}}{ET_0}K_D(\mathbf{S}_1(t)) \right. \\ \quad \left. + \frac{\alpha}{ET_0}\mathbf{R}_1(t) + \frac{F_{max}}{ET_0}\mathbf{u}(t) \right) \\ \dots \\ \dot{\mathbf{S}}_p(t) = \frac{ET_0}{Vol} \left(-\varphi(t)K_S(\mathbf{S}_p(t)) - (1 - \varphi(t))K_R(\mathbf{S}_p(t)) - \frac{k_{sat}}{ET_0}K_D(\mathbf{S}_p(t)) \right. \\ \quad \left. + \frac{\alpha}{ET_0}\mathbf{R}_p(t) + \frac{F_{max}}{ET_0}\mathbf{u}(t) \right) \\ \dot{\mathbf{B}}_1(t) = k_3\varphi(t)K_S(\mathbf{S}_1(t)), \dots, \dot{\mathbf{B}}_p(t) = k_3\varphi(t)K_S(\mathbf{S}_p(t)), \dot{\mathbf{V}}_j(t) = -F_{max}\mathbf{u}(t) \end{array} \right.$$

Problème de contrôle à coût moyen (Bettoli & Khalil, 2019) :

$$(\mathcal{OCP})_{AVG} : \max_{u(\cdot)} \sum_{j=1}^p \mu_j B_j(T), \quad \mathbf{V}_j(T) \geq \mathbf{0}$$

b) Pluies - Remarques sur l'approche choisie

Prérequis important :

- Avoir une **représentation** des R_j (pour analytique et numérique)

Intérêts :

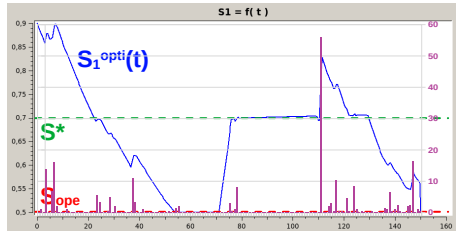
- Formulation **déterministe**
- Adaptée à une étude analytique (via **PMP moyenisé**)
- Dérivation des **conditions nécessaires** découle de la “brique de base”

Inconvénients :

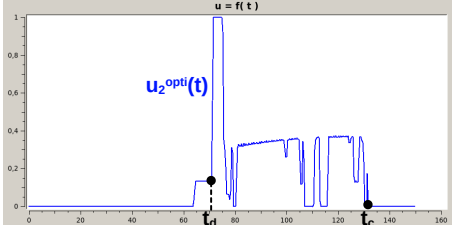
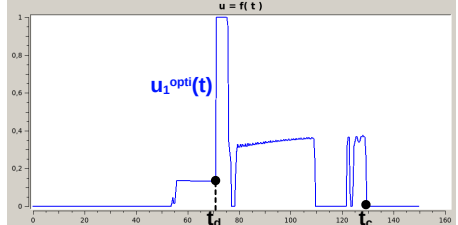
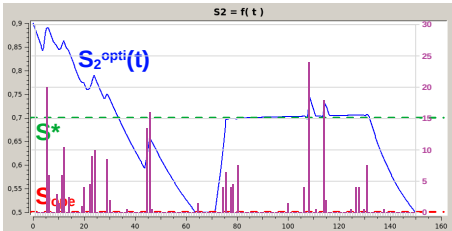
- Suppose de **connaître** les μ_j
- **Coûteux** en simulation numérique
- Stratégie optimale **fixée** ex ante, **indépendante** des observations

b) Pluies - Exemple illustratif

Cumul de pluies : $\int R_1 = 224mm$

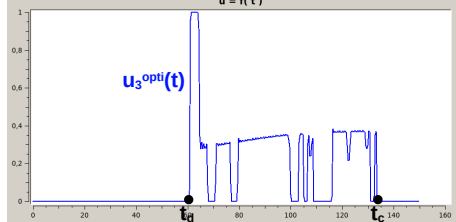
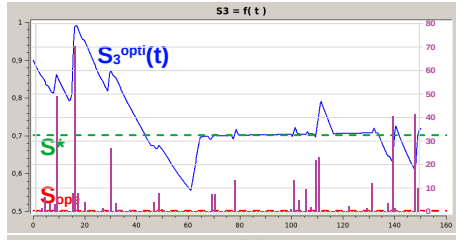


Cumul de pluies : $\int R_2 = 214mm$

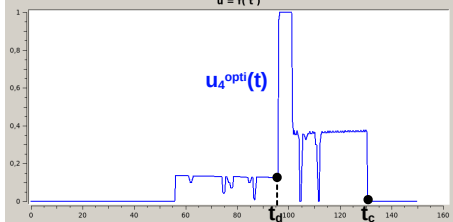
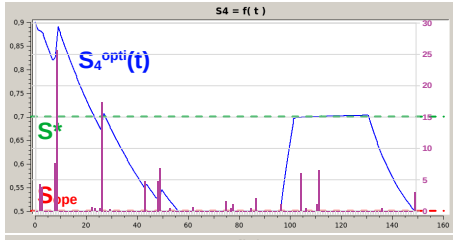


b) Pluies - Exemple illustratif

Cumul de pluies : $\int R_3 = 419mm$

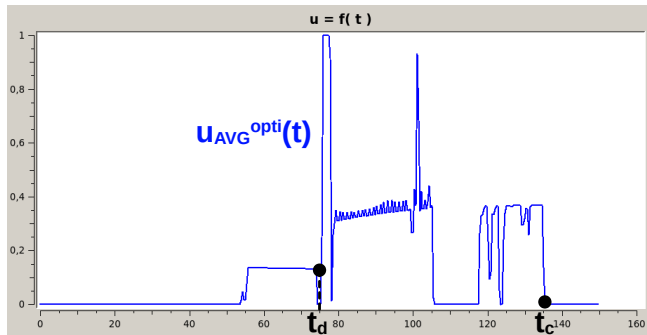


Cumul de pluies : $\int R_4 = 102mm$



b) Pluies - Exemple illustratif

- Test des chroniques u_j^{opti} dans les scénarios $i \neq j$: de 1% à 12% de pertes de production de biomasse
- Calcul de la chronique u_{AVG}^{opti} , optimale “en moyenne” : 1.5% de pertes de production de biomasse “en moyenne”



Conclusions

Résumé des contributions :

- Extensions du principe bang-bang pour deux classes de dynamiques
- Obtention de stratégies optimales (TBIS)
- Couplage résultats théoriques et analyse de sensibilité
- Préparation du terrain pour les tests pratiques
- Cadre théorique pour la prise en compte des pluies

Projets en continuité :

- Extension bang-bang **combinant** affine par morceaux et stochastique
- **Implémentation** des TBIS dans Optirrig, **évaluation** performances
- Développer une approche méthodologique **adaptative** avec pluies

Perspectives :

- Considérer les nutriments : possibilité de **stress azoté**

$$\begin{cases} \dot{N}(t) = -k_{abs}\varphi(t)K_S(S(t))\mathbf{f}\left(\frac{N(t)}{S(t)}\right) + k_N F_{max}u(t) \\ \dot{B}(t) = k_3\varphi(t)K_S(S(t))\mathbf{f}\left(\frac{N(t)}{S(t)}\right) \end{cases}$$

- Étendre l'étude à l'échelle de l'**exploitation/du bassin**
 - Contraintes opérationnelles : **tour d'eau**, arrêtés de **restriction**

